

*Переменные звезды 22, №3, 311–325, 1986.*

*Variable Stars 22, No.3, 311–325, 1986*

## Фотометрия АС Геркулеса и V Лисички

Г.Е. Ерлексова, А.В. Зубарев, Ю.В. Рахимов,  
Г.П. Чернова, В. Каюмов

Оценена нестабильность средних кривых блеска V и показателей цвета U-B, B-V, V-R звезд типа RV Тельца АС Her и V Vul. Значения средних квадратичных отклонений одного наблюдения в среднем по периоду найдены следующими:  $\sigma_V = \pm 0^m 091$  и 0.066,  $\sigma_{U-B} = \pm 0^m 085$  и 0.088,  $\sigma_{B-V} = \pm 0^m 055$  и 0.054,  $\sigma_{V-R} = \pm 0^m 029$  и 0.026 для АС Her и V Vul соответственно. Наибольшая нестабильность кривых блеска приходится на интервалы фаз 0.93–0.00–0.30 и 0.92–0.00–0.01. Уточнены величины опережения кривыми показателей цвета кривой блеска. Обнаружены циклические колебания в 30–45 дней с амплитудой отклонения от строго периодического блеска в  $0^m 2$ – $0^m 4$  у АС Her и, возможно, в 25–45 дней с амплитудой отклонения в  $0^m 15$ – $0^m 25$  у V Vul. У АС Her циклический характер отклонений проявился в статистической зависимости между параметрами блеска: чем глубже главный минимум, тем выше главный максимум.

The Photometry of AC Herculis and V Vulpeculae  
by G.E. Erleksova, A.V. Zubarev, V.Yu. Rakimov,  
G.P. Chernova, V. Kaumov

The mean V light and U-B, B-V, V-R colour curves of the RV Tauri stars AC Her and V Vul were constructed. The instabilities of the mean curves were estimated by the quadratic deviations of one observation. The average deviations within a period are  $\sigma_V = \pm 0^m 091$  and 0.066,  $\sigma_{U-B} = \pm 0^m 085$  and 0.088,  $\sigma_{B-V} = \pm 0^m 055$  and 0.054,  $\sigma_{V-R} = \pm 0^m 029$  and 0.026 for AC Her and V Vul respectively. The largest instability of the light curve is observed in the phases 0.93–0.00–0.30 and 0.92–0.00–0.01. The shifts between colour and light curves were determined more exactly. It was found that the deviations from strictly periodic light variation showed no cyclical oscillations in 30–45 days, with the amplitude  $0^m 2$ – $0^m 4$  for AC Her and, possibly, in 25–45 days, with the amplitude  $0^m 15$ – $0^m 25$  for V Vul. The cyclic character of the light deviations of AC Her was also shown in the statistical correlation between the primary light minimum (the depth of primary light minimum).

проводится большими или меньшими нерегулярностями блеска. До сих пор эти основные свойства – альтернативность и нестабильность (или изменяемость кривой блеска от цикла к циклу) не получили убедительного теоретического обоснования, хотя недостатка в гипотезах нет. Так, из пульсационной модели звезды типа W Девы со свойствами звезды типа RV Тельца (Кристи, 1966) следует, что основными факторами, вызывающими альтернативность и, вероятно, нестабильность светимости, являются большое отношение светимости к массе и быстрое перемещение зоны ионизации водорода в оболочке. В другой пульсационной модели цефеиды со свойствами звезды типа RV Тельца (Стоби, 1969) таким фактором признано малое отношение светимости к радиусу. Эти гипотезы неубедительны поскольку кривые светимостей обеих моделей далеки от наблюдаемых у звезд типа RV Тельца. В первой модели факт альтернативности относится к максимумам, а не к минимумам, а во второй модели максимум, следующий за глубоким минимумом, ниже максимума, следующего за мелким минимумом, а не наоборот. Качественное объяснение нерегулярностей блеска как, возможно, возникающих из-за перераспределения неоднородностей в оболочке звезды за счет несимметричности ударной волны дал Шаховской (1963). Дююни (1973) предположил, что нерегулярности блеска могут происходить из-за изменения количества околозвездного вещества. Накагири и Ямашита (1979), построив среднюю кривую блеска V одной из звезд типа RV Тельца AC Геркулеса, приписали большой разброс точек на ней влиянию ударной волны.

Ни один из вышеупомянутых авторов при выдвижении гипотезы не привел количественного сравнения с наблюдениями. Надо признать, что сравнение теоретических и наблюденных нерегулярностей блеска затруднительно уже потому, что количественных оценок проявления последних сделано мало и основаны они на фотографических и визуальных наблюдениях. Так, Пэйн–Гапошкина и др., (1943) привели амплитуду колебаний максимумов блеска для некоторых звезд типа RV Тельца. В частности, для AC Геркулеса она заведомо неверна. Средние квадратичные отклонения минимумов и максимумов блеска приведены Ерлековой (1972). Целью данной статьи является изучение нерегулярностей периодических изменений блеска и показателей цвета двух наиболее известных звезд типа RV Тельца AC Геркулеса и V Лисички по фотоэлектрическим наблюдениям.

### *1. Наблюдательный материал.*

Фотоэлектрические наблюдения в системе UBVR звезд AC Her и V Vul получены на 70-см телескопе АЗТ-8 (табл. 1 и 2). Использованы звезды сравнения:

Переменная	Звезда сравнения	V	U-B	B-V	V-R
AC Her	+21°3465	7.39	0.83	1.09	0.77
V Vul	+25°4301	8.60	0.83	1.06	0.75

Точность наблюдений  $V$ ,  $U-B$ ,  $B-V$ ,  $V-R$  составляет  $\pm 0^m 009$ ,  $\pm 0^m 020$ ,  $\pm 0^m 020$ ,  $\pm 0^m 016$  соответственно. Помимо душанбинских наблюдений использованы фотоэлектрические наблюдения из опубликованных источников. Сводки использованных серий наблюдений приведены в табл. 3 и 4 для АС Нег и V Vul соответственно. Привлечены фотографические и визуальные наблюдения из архива Института астрофизики АН Таджикской ССР и из литературы.

### *2. Средние кривые блеска и показателей цвета.*

Умеренные средние квадратичные отклонения фотографических и визуальных экстремумов блеска АС Нег и V Vul, величины которых заключены от  $\pm 0^m 10$  до  $\pm 0^m 19$  в визуальной системе, приемлемый разброс средних кривых  $V$ ,  $U-B$ ,  $B-V$  АС Нег, построенных Накагири и Ямашита по наблюдениям за пять лет, дали возможность свести все наблюдения за три десятилетия в одну сводную кривую при учете изменения периода.

**АС Геркулеса.** Для построения средних кривых  $V$ ,  $U-B$ ,  $B-V$ ,  $V-R$  использованы наблюдения первых шести серий табл. 3 без каких-либо редукций. Исключение: величины  $U-B$  шестой серии увеличены на  $0^m 15$  для согласования с другими сериями. Задача построения средних кривых АС Нег по сравнению с другими звездами типа RV Тельца облегчена отсутствием перестановок главных и вторичных минимумов блеска. Последнее установлено по 587 минимумам за 84 года. Для уменьшения влияния изменений периода использованы элементы, периоды которых приведены в последнем столбце табл. 3. В качестве временных взяты элементы самих авторов серий или определены нами. Из диаграммы О-С выяснилось, что средний период элементов ОКПЗ (1969)

$$\text{Min I} = \text{JD } 2435052 + 75.4619 \cdot E$$

следует уменьшить. Улучшенные средние элементы

$$\text{Min I} = \text{JD } 2435052 + 75.439 \cdot E.$$

Можно предположить очень незначительное вековое уменьшение среднего периода. Средние кривые  $V$ ,  $U-B$ ,  $B-V$ ,  $V-R$  изображены на рис. I и представлены в табл. 6, в которой  $\sigma_V$ ,  $\sigma_{U-B}$ ,  $\sigma_{B-V}$ ,  $\sigma_{V-R}$  средние квадратичные отклонения одного наблюдения. На рис. I средние значения из табл. 5 изображены пустыми кружками, индивидуальные наблюдения — точками, наблюдения, отброшенные при вычислении средних значений, — крестиками, средние значения по аbastуманским наблюдениям — пустыми треугольниками. Поскольку аbastуманская система  $\Delta t$  не приведена к системе UVW, пришлось сделать грубую привязку  $\Delta t$  к  $V$  по нескольким наблюдениям Престона и др. (1963), совпадающим по дате с аbastуманскими.

**V Лисички.** По имеющимся данным V Vul, как звезда спектроскопической группы А, во всех отношениях менее стабильна, чем АС Нег, представляющая спектроскопическую группу В. Известно, что период

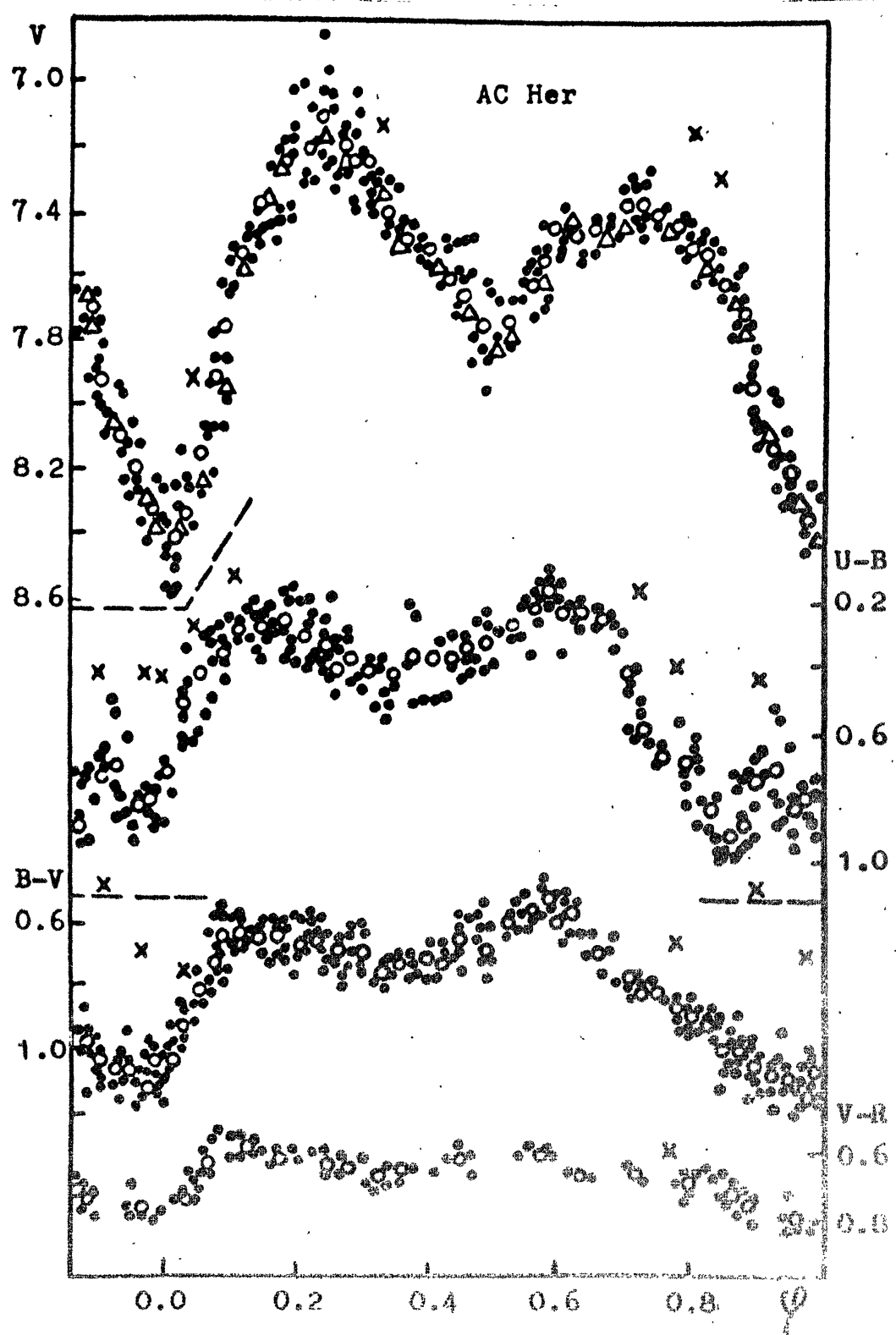


Рис.1 Средние присып блеска и цвета AC Геркулеса.

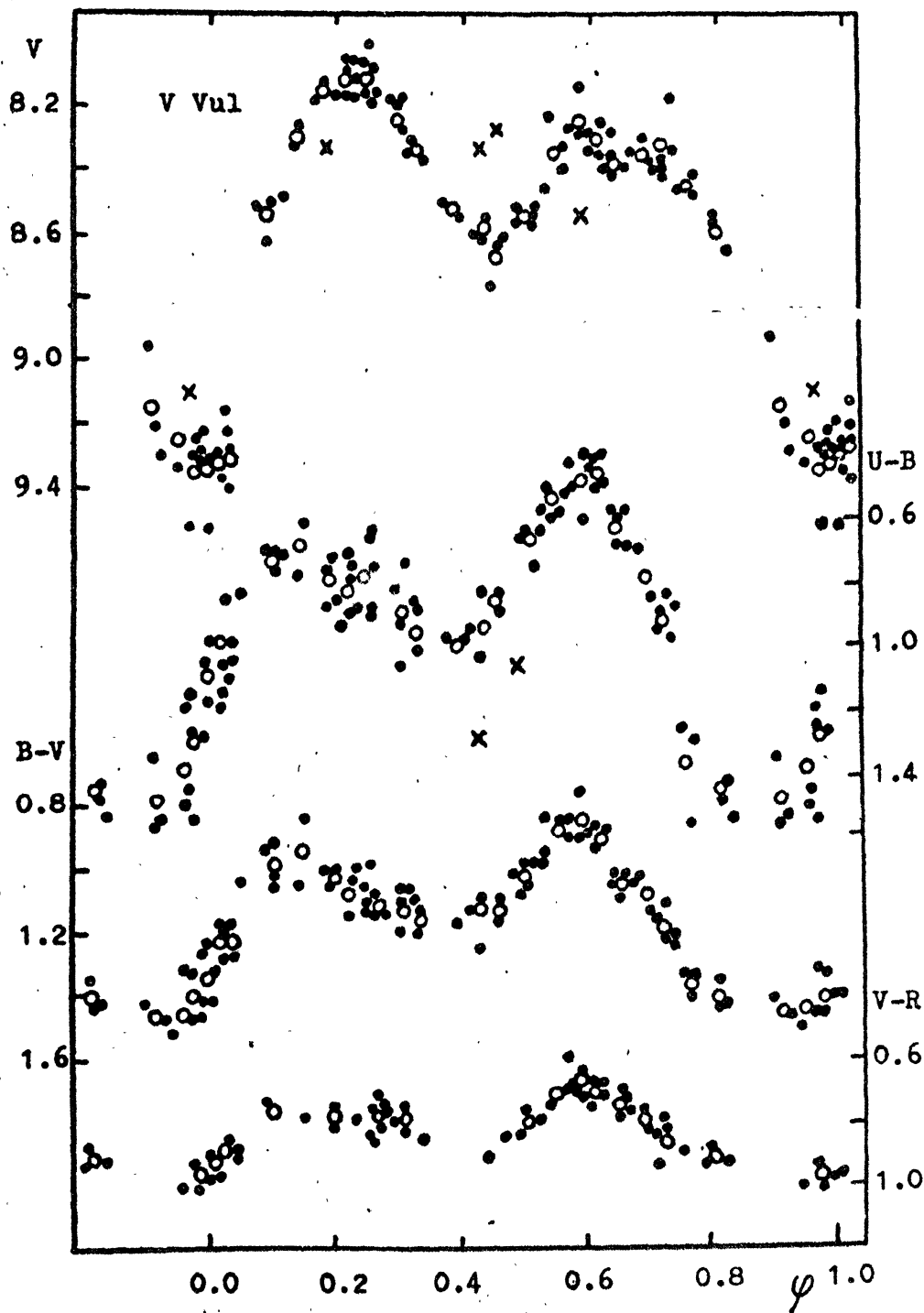


Рис.2 Средние кривые блеска и цвета V Лисички.

V Vul изменяется сильнейшим образом, вследствие чего значения О-С колеблются в пределах 0.9 периода. Часто происходят перестановки минимумов блеска. При построении средних кривых блеска и цвета следовало учесть то и другое. Для лучшего представления об изменении периода и частоте перестановок мы проследили их на всем 83-летнем интервале наблюдений. На основании 609 моментов главных и вторичных минимумов блеска определены временные периоды и установлены интервалы времени, в которых кривая блеска обычна или нормальна и в которых она реверсирована относительно принятого начального момента минимума, т. е. когда на фазе главного минимума наблюдается мелкий минимум, а на фазе вторичного — глубокий (табл. 7). В общей сложности кривая блеска была нормальной в течение приблизительно 14000 дней, реверсированной около 9000 дней. Фотоэлектрические наблюдения приходятся на интервалы того и другого видов кривых блеска. Величины V, U-B, B-V, V-R серии табл. 4, взятые без каких-либо редукций, с использованием временных элементов сведены в средние кривые в нормальном виде. Они представлены в табл. 8 и изображены на рис. 2. Обозначения на рис. 2 аналогичны обозначениям на рис. 1.

Средние кривые V, U-B, B-V, V-R обеих звезд обнаружили не столь большой разброс, как можно было ожидать, объединяя наблюдения разных авторов за три десятилетия. Кривые блеска показали одинаковые амплитуды 1<sup>m</sup>25 и на первый взгляд сходство по форме. Характерная особенность обеих кривых состоит в том, что вторичный максимум имеет заметный горб. Для проверки реальности такого вида вторичного максимума в индивидуальных циклах у AC Peg частично пригодны один душанбинский цикл JD 2444821–829 и два ябастуманских цикла JD 2437961–969, 39314–332, у V Vul один душанбинский цикл JD 2444843–861. В непрерывных циклах прослеживается расщепление вторичного максимума. Фазы наблюдения Max II и горб у AC Peg и V Vul обратны друг другу. Одно и то же расщепление различной величины по форме: у AC Peg он открыт, у V Vul минимальный бисектрисный звеноистоянен в течение 0<sup>0</sup>05 или четырех дней. Последнее подтверждается минимумами JD 2444425, 427 и 44803–906, в которых minimum блеск сохраняется, по крайней мере, три дня.

Известно, что кривые вспышек света у V Vul и AC Peg и у RV Тельца отличаются кривизной. У V Vul они не отражают минимальных значений на фазе Max II. Это делает возможными кривые показателя блеска V-B. Наша у AC Peg и V Vul Max II над Max I наблюдается неизменной фазой, то есть, если кривые показателей блеска определены для каждого из двух звезд, то кривые звездных блесков, приведенные в табл. 8, должны фазой V-B совпадать. AC Peg опровергается в связи с тем, что звезды V-B и V-B' не совпадают. Края горбов в первом приближении параллельны, но горб у V Vul краиной V-B' не все время находится выше горба у AC Peg. У V Vul существенно отличаются фазы Max I и Max II, что подтверждает правдоподобность вспышечной модели звезды V Vul.

всех трех цветах выделяется отчетливо и уверенно совпадает по фазе с Max II кривой блеска V. Кроме того, что кривые показателей цвета AC Her и V Vul различаются по сдвигам фаз, они обнаруживают разные соотношения амплитуд и разностей величин Max I и Max II. Амплитуды и разности U-B и V-R у V Vul больше, чем у AC Her, тогда как для B-V те и другие соответственно близки.

### 3. Оценки нестабильности средних кривых блеска и показателей цвета.

Нестабильность средних кривых V, U-B, B-V, V-R мы оценили по средним квадратичным отклонениям одного наблюдения  $\sigma_V$ ,  $\sigma_{U-B}$ ,  $\sigma_{B-V}$ ,  $\sigma_{V-R}$  от среднего значения в различных интервалах фаз. Поскольку средние значения V, U-B, B-V подсчитывались в узких интервалах фаз, в основном до 0.02, их  $\sigma$  не должны значительно отличаться от тех величин, которые мы получили бы, используя отклонения каждого наблюдения от сглаженной кривой, а не от среднего значения. Величины  $\sigma_V$ , полученные для AC Her с использованием сглаженной кривой блеска, служат тому подтверждением. Интервалы фаз для средних значений V-R больше 0.02, но для них  $\sigma_{V-R}$  и так близки к ошибкам наблюдений. Зависимости  $\sigma_V$  от фазы, по-видимому, реальны. Они изображены на рис. 3, на котором  $\sigma_V$  нанесены точками,  $\sigma'_V$  — пустыми кружками,  $\sigma_{vis}$  — крестиками. Наибольшая нестабильность блеска AC Her приходится на фазы 0.93–0.00–0.30, V Vul — 0.92–0.00–0.01.

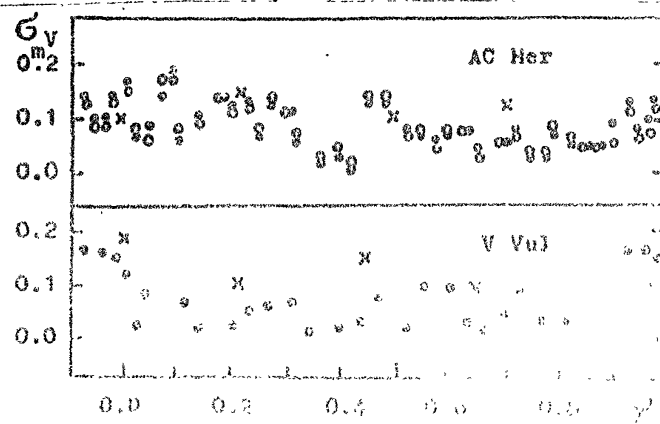


Рис. 3. Зависимость средних квадратичных отклонений отдельного наблюдения в лице V от фазы изменения блеска.

Зависимости  $\sigma_{U-B}$ ,  $\sigma_{B-V}$  от фазы не обнаруживаются, за исключением того, что на фазах  $\varphi$  близких к главному минимуму блеска, нестабильность несколько больше, чем на остальных фазах. На  $\sigma_{V-R}$  и этого не заметно. Средние по периоду отклонения таковы:

Звезда	$\sigma_V$	$\sigma_{U-B}$	$\sigma_{B-V}$	$\sigma_{V-R}$
AC Her	0.091	0.085	0.055	0.029
V Vul	0.066	0.088	0.054	0.026

Эти значения характеризуют средние кривые  $V$ ,  $U-B$ ,  $B-V$ ,  $V-R$  как достаточно устойчивые. Подтверждением устойчивости кривой блеска AC Her является то, что средняя кривая по аbastуманским наблюдениям согласуется в пределах  $\sigma_V$  со средней кривой  $V$ . Аbastуманские наблюдения охватывают большой интервал времени JD 2437161–39769, а перекрываются с наблюдениями  $V$  только в одном цикле. Однако такая устойчивость не должна создавать иллюзию совершенной правильности кривых блеска звезд типа RV Тельца. Нельзя считать, что разнообразие многочисленных циклов из визуальных и фотографических наблюдений обусловлено только ошибками и различием фотометрических систем. В действительности встречаются циклы с реально большими неправильностями, но появляются они нечасто. Так, у AC Her особенные циклы со вторичными минимумами, приближающимися к главным по глубине, т. е.  $\delta$ -циклы, составляют не более 8% от всех наблюдавшихся, у V Vul – не более 4%. По фотоэлектрическим наблюдениям у AC Her не были выявлены циклы с особенно большими неправильностями, хотя несколько наблюдений не были приняты в расчет при вычислении средних значений. Заметим, что пустующий интервал юлианских дней между первой и следующими сериями табл. 3 составляет около 4000. Именно в этом интервале по душанбинским фотографическим наблюдениям уверенно выявлены особенные циклы JD 2434528–607 и 36408–483. Они проиллюстрированы на рис. 4, на котором по вертикальной оси справа отмечены средние величины экстремумов по душанбинским же наблюдениям. Периодичность таких циклов, имея в виду подобные циклы из опубликованных наблюдений, не обнаруживается. Судя по  $\sigma_V$ , средняя кривая блеска V Vul даже более устойчива, чем у AC Her. Но такая устойчивость все-таки относительна. Во-первых, наблюдения реверсированных циклов приведены к нормальному виду смещением на полпериода. Во-вторых, средняя кривая "подчищена" смещением на полпериода.

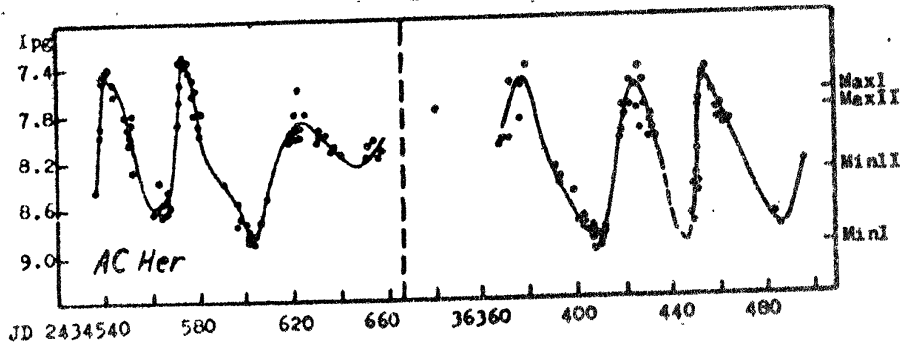


Рис. 4. Особенно неправильные циклы AC Геркулеса по душанбинским фотографическим наблюдениям

на" отбрасыванием нескольких наблюдений (неправильности или ошибки). Особенные циклы так же, как у АС Нег, не приились на фотоэлектрические наблюдения.

#### *4. Нерегулярные изменения блеска от цикла к циклу.*

После того, как построены средние кривые блеска, попытаемся выявить нерегулярности периодического изменения блеска от цикла к циклу. Формальным образом представим, что полученные средние кривые блеска определяются чисто пульсационным колебанием, а отклонения от средних кривых представляют нерегулярности блеска, вызываемые некоторым фактором, возмущающим пульсацию. Другими словами, разность между наблюденным блеском  $V$  и соответствующим фазе наблюдения значением средней кривой  $V$  обозначим  $\Delta(V - V_{ср.кп.})$  и припишем влиянию гипотетического фактора. Такое представление не может учитывать того, что каждый новый цикл пульсации начинается при уже предопределенных предыдущим циклом условиях. По этой причине  $\Delta(V - V_{ср.кп.})$  даже в интенсивностях, как следовало бы их рассматривать, не будут физически реальными величинами. За неимением другой возможности рассмотрим величины  $\Delta(V - V_{ср.кп.})$ . У АС Нег их характер выявляется достаточно уверенно. Значения  $\Delta(V - V_{ср.кп.})$  подвержены циклическим колебаниям в 30–45 дней с амплитудой  $0^m2 - 0^m4$  и медианной величиной близкой к нулю. Так, на всем интервале, охватывающем свыше трех десятков пульсационных циклов, лишь в одном цикле JD 2441013–078 можно предполагать общее завышение блеска, а в другом цикле JD 2443724–799 – общее занижение. Судя по  $\Delta(V - V_{ср.кп.})$  можно заключить, что в изменении блеска не проявляются ни периодичность, обнаруженная Сэнфордом (1955) для средней лучевой скорости в  $1240^d$ , ни периодичность уклонений от линейных элементов в  $9400^d$ , указанная в ОКПЗ (1969). У  $V_{Vul}$  значения  $\Delta(V - V_{ср.кп.})$  немногочисленны и распределены по времени так, что трудно сделать уверенное заключение об их характере, но и их колебания могут быть представлены как циклические в  $25 - 45^d$  с амплитудой  $0^m15 - 0^m25$ .

Тот факт, что приблизительно два циклических колебания  $\Delta(V - V_{ср.кп.})$  укладываются в одном периоде АС Нег и, возможно,  $V_{Vul}$ , ведет к предположению, что нерегулярное отклонение блеска в некоторой главенствующей фазе влечет за собой соответственно отклонение в другой, зависимой от первой, фазе. Тогда между характеристиками блеска в одном цикле должны наблюдаться статистические зависимости. Для уверенного установления зависимостей у нас не хватает циклов, которые были бы проанализированы полностью. Тем не менее, у АС Нег такая зависимость обнаружена. Она представлена на рис. 5 и заключается в том, что чем глубже главный минимум, тем выше соответствующий ему главный максимум. Возможно, что вторичные минимум и максимум подчинены такой же зависимости. По крайней мере, δ-цикли поддерживают ее. В таких циклах за глубоким вторичным ми-

нимумом следует особенно высокий вторичный максимум, такой, что может быть даже выше предшествующего главного. Что касается V Vul, то у нее явно недостаточно фотоэлектрических наблюдений для выявления подобных зависимостей. По фотографическим наблюдениям зависимость между величинами Min I и Max I определено не обнаруживается. Возможно, что у V Vul есть другая статистическая зависимость (см. рис. 6). Она означает, что с уменьшением амплитуды блеска вторичный минимум становится более глубоким. Особенные циклы, а именно  $\delta$ -циклы (на рис. 6 им соответствуют треугольники), случаются при наименьшей амплитуде и поддерживают зависимость.

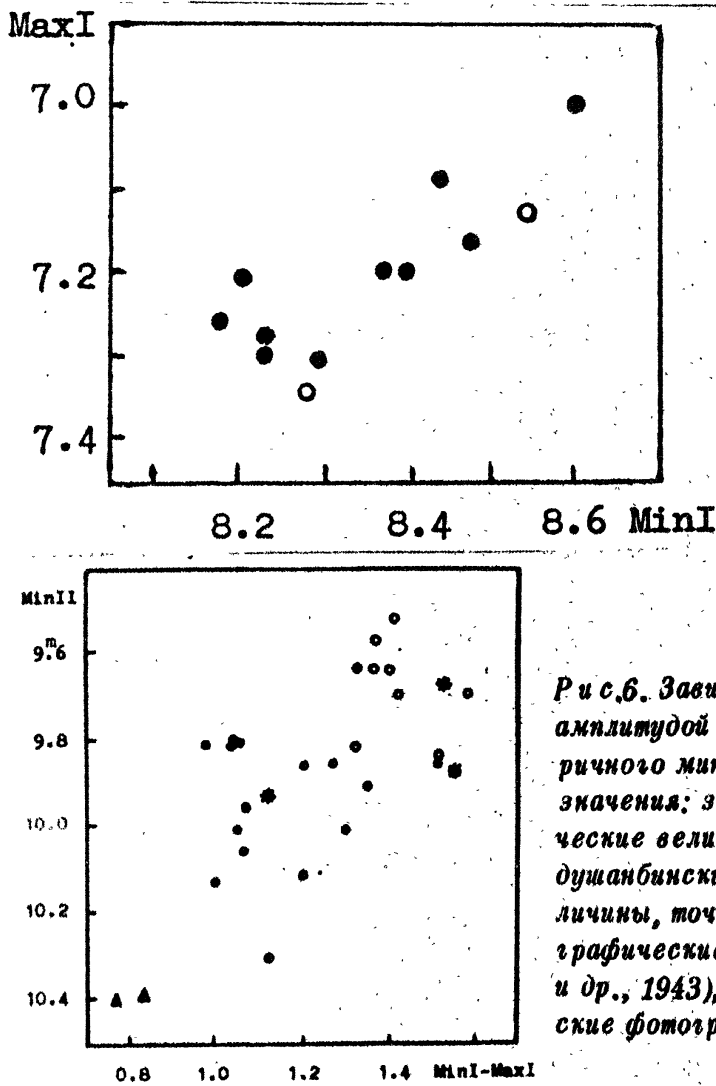


Рис.5. Зависимость между глубиной главного минимума и высотой соответствующего главного максимума блеска АС Геркулеса. Пустыми кружками выделены абастуманские наблюдения.

Рис.6. Зависимость между главной амплитудой блеска и глубиной вторичного минимума V Лисички. Обозначения: звездочки — фотоэлектрические величины В, пустые кружки — душанбинские фотографические величины, точки — гарвардские фотографические (Пэйн-Гапожкина и др., 1943), треугольники — гарвардские фотографические в  $\delta$ -циклах.

Исходя из циклического характера отклонений от строго периодического изменения блеска, проявляющегося в статистических зависимостях между характеристиками в одном цикле, можно полагать, что

за отклонения, или нерегулярность блеска ответственен тот же фактор переменности, который обуславливает чередование глубоких и мелких минимумов.

### 5. Заключение.

Нестабильность средних кривых  $V$ ,  $U-B$ ,  $B-V$ ,  $V-R$  обеих звезд АС Нег и V Vul, выраженная средними квадратичными отклонениями одного наблюдения, в среднем по периоду не превышает  $\pm 0.09$ , что позволяет считать кривые блеска и цвета устойчивыми. На том основании, что определенные нами ранее амплитуды нестабильности звезд типа RV Тельца с  $P \sim 92^d$  не слишком значительно отличаются от амплитуд АС Нег и V Vul, можно ожидать устойчивости средних кривых блеска этих звезд, если исключить особенно неправильные циклы. Тогда характер величин  $\Delta(V - V_{ср.кр.})$  можно использовать как дополнительную характеристику звезды. Намечающееся различие статистических зависимостей между характеристиками блеска в одном цикле у АС Нег и V Vul ставит вопрос: присуще ли оно только этим двум звездам или является общим для звезд спектроскопических групп А и В.

Наблюдения АС Геркулеса

Таблица 1

JD 24...	V	U-B	B-V	V-R	JD 24...	V	U-B	B-V	V-R
44392.412	7.28	0.81	0.40	0.68	44845.171	7.67	0.82	1.01	0.77
400.417	8.25	0.74	1.06	0.73	846.233	7.71	0.81	0.99	0.80
406.352	8.39	0.32	0.87	0.76	848.173	7.83	0.91	1.06	0.82
.354	8.38	0.32	0.87	0.75	852.175	8.29	0.79	1.10	0.83
408.175	8.07	0.14	0.74	0.70	855.144	8.44	0.28	1.02	0.81
.257	8.09	0.15	0.75	0.69	856.193	8.48	0.59	1.06	0.82
412.317	7.56	0.17	0.68	0.63	859.168	8.27	0.45	0.91	0.79
.319	7.56	0.16	0.69	0.63	860.177	8.08	0.41	0.84	0.63
414.319	7.38	0.18	0.68	0.61	861.168	7.86	0.35	0.77	0.68
.321	7.39	0.19	0.68	0.60	880.116	7.35	0.37	0.77	0.67
423.247	7.20	0.27	0.72	0.64	881.119	7.38	0.36	0.78	0.67
424.289	7.22	0.29	0.72	0.65	884.149	7.50	0.36	0.78	0.67
425.331	7.21	0.28	0.74	0.67	889.178	7.72	0.24	0.73	0.63
427.326	7.28	0.26	0.71	0.62	45142.209	7.42	0.72	0.86	0.67
462.312	7.41	0.22	0.66	0.60	143.206	7.45	0.74	0.89	0.67
.329	7.41	0.22	0.66	0.60	144.237	7.48	0.77	0.91	0.68
758.349	7.16	0.24	0.77	0.67	145.324	7.52	0.79	0.92	0.74
759.429	7.30	0.42	0.80	0.71	146.254	7.58	0.80	0.95	0.71
770.355	7.66	0.73	0.95	0.80	147.303	7.67	0.78	0.98	0.74
778.325	8.21	0.66	1.04	0.84	148.248	7.77	0.78	1.02	0.76
780.275	8.24	0.58	0.99	0.84	155.229	8.26	0.65	1.05	0.82
803.277	7.38	0.28	0.75	0.71	161.198	7.78	0.18	0.64	0.61
804.239	7.39	0.27	0.75	0.73	162.208	7.63	0.14	0.59	0.57
805.282	7.45	0.26	0.74	0.68	163.202	7.56	0.11	0.57	0.55
806.281	7.42	0.09	0.72	0.71	164.199	7.51	0.10	0.59	0.56
807.251	7.44	-	0.73	0.71	165.191	7.48	0.08	0.59	0.57
811.293	7.49	0.16	0.66	0.67	166.210	7.45	0.08	0.61	0.58
814.285	7.48	0.22	0.58	0.62	167.200	7.44	0.09	0.62	0.60
815.188	7.48	0.10	0.58	0.62	168.147	7.42	0.06	0.70	0.62
821.263	7.60	0.03	0.56	0.62	169.188	7.39	0.12	0.67	0.63
822.221	7.59	0.02	0.56	0.60	170.178	7.38	0.14	0.68	0.65
823.203	7.56	0.00	0.55	0.61	172.196	7.31	0.24	0.70	0.64
824.203	7.53	0.00	0.55	0.60	175.219	7.34	0.29	0.76	0.66
825.251	7.52	0.00	0.57	0.62	181.203	7.46	0.31	0.78	0.67
827.237	7.56	0.03	0.64	0.67	182.189	7.47	0.30	0.77	0.65
829.168	7.52	0.11	0.70	0.69	183.194	7.48	0.28	0.76	0.65

Таблица 2

## Наблюдения V Лисички

JD-2444...	V	U-B	B-V	V-R	JD 2444...	V	U-B	B-V	V-R
397.428	8.32	0.44	0.88	0.69	843.276	8.56	0.68	1.08	0.76
400.436	8.39	0.68	1.04	0.67	844.256	8.56	0.64	1.04	0.78
408.417	8.47	1.26	1.33	0.88	845.190	8.51	0.63	0.99	0.77
412.410	8.58	1.41	1.40	0.92	846.247	8.46	0.56	0.95	0.73
.444	8.58	1.47	1.41	0.93	848.190	8.39	0.52	0.89	0.69
414.386	8.65	1.53	1.44	0.91	852.191	8.32	0.50	0.90	0.70
423.271	9.33	1.49	1.53	1.01	854.219	8.38	0.58	1.02	0.72
.273	9.33	1.46	1.52	0.98	855.160	8.39	0.61	1.02	0.75
425.317	9.50	1.44	1.46	0.98	856.205	8.39	0.69	1.06	0.76
427.310	9.53	1.17	1.42	0.95	859.198	8.38	0.85	1.13	0.81
429.320	9.39	1.01	1.28	0.90	860.204	8.36	0.91	1.20	0.92
.322	9.40	1.01	1.26	0.91	861.195	8.39	0.98	1.20	0.82
804.300	9.30	1.15	1.32	0.93	880.144	9.23	1.27	1.45	0.96
805.314	9.31	1.05	1.26	0.90	881.165	9.29	1.27	1.42	0.95
806.299	9.32	0.97	1.24	0.88	884.192	9.31	1.09	1.28	0.91
807.290	9.15	0.85	1.18	0.86	889.201	8.63	0.75	1.04	0.79
812.327	8.51	0.69	0.94	0.72	900.135	8.06	0.83	1.08	0.78
820.452	8.16	0.73	1.01	0.76	901.139	8.09	0.89	1.11	0.77
823.235	8.17	0.89	1.09	0.78	904.118	8.19	1.05	1.20	0.82
825.254	8.19	0.91	1.11	0.78	914.148	8.61	1.28	1.25	0.91
828.260	8.19	0.81	1.06	0.75	926.107	8.13	0.39	0.74	0.61
829.231	8.19	0.72	1.06	0.78					

Таблица 3

№ серии	Автор	Количество набл. Времен. V U-B B-V V-R				период
		28	-	28	-	75.69 <sup>d</sup>
1	Эгген (1961)	34	34	34	-	75.69
2	Престон и др.(1963)	24	24	21	22	75.4619
3	Дюпюи (1973)	79	79	79	-	75.01
4	Накагири и Ямашита (1979)	8	8	6	-	75.01
5	Даусон (1979)	16	16	16	16	75.4619
6	Настоящая работа (1980) (1981) (1982)	33	32	33	33	75.4619
7	Магалашвили и Кумсишвили(1972) (139)	23	23	23	23	75.4619
		-	-	-	-	75.3337

Таблица 4

№ серии	Автор	Количество наблюдений			
		V	U-B	B-V	V-R
1	Камени (1953)	5	-	-	-
2	Престон и др.(1963)	20	20	20	-
3	Дюпай (1973)	28	30	30	26
4	Даусон (1979)	5	5	4	-
5	Настоящая работа (1980) (1981)	12	12	12	12
		31	31	31	31

Таблица 5

Фаза	V	$\sigma_V$	$\sigma'_V$	n	U-B	$\sigma_{U-B}$	n	B-V	$\sigma_{B-V}$	n	V-R	$\sigma_{V-R}$	n
0.009	8.41	±0.177	±0.157	7	0.74	±0.119	5	1.03	±0.096	7			
.027	8.34	.073	.080	7	.53	.111	6	.92	.058	7	0.77	±0.014	4
.032	-				-			-					
.054	8.15	.097	.072	5	.43	.156	5	.81	.070	5	-	.65	.070
.067	-				-			-					
.073	7.98	.140	.189	5	.38	.084	5	.72	.092	6	-		
.091	7.76	.190	.186	4	.37	.095	3	.64	.101	4	-		
.113	7.53	.059	.095	7	.30	.048	5	.66	.079	7	-		
.125	-				-			-				.60	.026
.147	7.37	.109	.103	11	.30	.062	10	.65	.045	11	-		
.180	7.25	.149	.153	7	.27	.075	7	.65	.041	7	.63	.016	7
.210	7.20	.126	.123	7	.32	.082	7	.67	.072	7	-		
.236	7.10	.139	.137	12	.33	.072	11	.67	.047	12	-		
.249	-				-			-				.64	.021
.270	7.21	.059	.086	9	.44	.041	9	.71	.030	9	.66	.013	5
.282	7.26	.131	.148	6	.39	.074	6	.72	.071	6	-		
.307	7.24	.122	.123	6	.42	.025	4	.70	.063	6	-		
.327	-				-			-				.68	.034
.332	7.40	.060	.063	11	.45	.087	11	.76	.030	11	-		
.368	7.48	.024	.031	5	.39	.165	3	.74	.032	5	.66	.035	4
.404	7.51	.029	.061	6	.40	.080	5	.72	.053	6	-		
.424	7.60	.010	.020	2	.40	.100	2	.74	.045	2	-		
.453	7.65	.140	.153	7	.36	.057	7	.65	.076	7	.63	.040	6
.493	7.76	.134	.147	7	.33	.079	5	.69	.064	6	-		
.528	7.74	.081	.068	4	.28	.047	4	.60	.044	4	-		
.558	7.62	.073	.087	6	.23	.072	6	.57	.040	6	-		
.571	-				-			-				.61	.010
.582	7.54	.062	.052	4	.17	.042	4	.52	.055	4	-		
.598	7.44	.075	.082	4	.24	.123	3	.60	.076	3	-		
.625	7.47	.084	.084	5	.24	.032	5	.57	.068	5	-		
.636	-				-			-				.68	.010
.661	7.44	.051	.039	4	.27	.015	4	.70	.049	4	-		
.705	7.36	.072	.068	5	.43	.080	6	.77	.064	6	-		
.718	-				-			-				.68	.026
.729	7.35	.086	.074	6	.59	.074	5	.82	.021	6	-		
.751	7.39	.025	.044	3	.68	-	1	.81	.012	3	-		
.780	7.43	.031	.040	6	-			-					
.784	-				-			.86	.018	4	-		
.788	-				.69	.127	3	-			-		
.798	-				-			-				.71	.043
.803	7.51	.076	.095	5	.71	.062	6	.88	.049	6	-		
.831	7.51	.059	.070	6	.85	.067	4	.91	.035	6	-		
.854	7.60	.061	.060	5	.92	.112	5	.99	.097	5	-		
.863	-				--			-				.74	.052
.876	7.66	.066	.070	11	.88	.093	10	.98	.061	11	-		
.891	-				-			-				.77	.035
.900	7.94	.106	.077	8	.76	.116	6	1.04	.048	9	-		
.931	8.11	.136	.130	6	.71	.160	5	1.06	.079	6	-		
.949	8.20	.089	.079	5	.84	.145	4	1.07	.024	5	-		
.959	-				-			-				.80	.043
.966	8.31	.103	.093	5	.82	-	1	1.11	.054	5	-		
.986	8.33	.142	.129	10	.83	.081	6	1.04	.055	9	-		
.997	-				--			-				.82	.013

Таблица 6

Интервал JD 24...	Период	Интервал JD 24...	Период	Интервал JD 24...	Период
14840–20550	74.87	29070–30790	75.19	34930–37960	75.39
20550–23975	75.64	30790–32290	76.11	37960–39880	75.34
23975–26250	76.06	32290–34930	74.92	39880–44930	75.72
26250–29670	76.42				

Таблица 7

Интервал JD 24...	Вид кривой блеска	Интервал JD 24...	Вид кривой блеска
14840–15000	нормальна	23160–23335	?
15160–15290	реверсирована?	23335–24880	нормальна
15540–17040	реверсирована	24990–25250	реверсирована
17040–17570	δ–циклы?	25360–29940	нормальна
17730–17790	нормальна?	30200–30700	реверсирована?
17840–17890	реверсирована	30870–33920	реверсирована
18180–18650	нормальна	34265–38330	нормальна
18820–18950	δ–циклы?	38905–41930	реверсирована
19220–21035	реверсирована	42245–42714	нормальна
21035–23060	нормальна	44397–44926	нормальна

Таблица 8

Фаза	V	$\sigma_V$	n	U–B	$\sigma_{U-B}$	n	B–V	$\sigma_{B-V}$	n	V–R	$\sigma_{V-R}$	n
0.008	9.33	±0.121	5	1.09	±0.135	4	1.34	±0.103	4	0.92	±0.024	4
.025	9.32	.025	3	0.98	.150	2	1.23	.081	3	—	.022	4
.038	9.31	.085	4	—	—	—	—	—	—	0.89	.022	4
.042	—	—	—	1.00	.105	5	1.22	.101	5	—	—	—
.108	8.54	.072	4	0.72	.022	4	0.99	.077	4	0.76	.036	3
.153	8.29	.020	2	0.69	.080	2	0.94	.120	2	0.78	—	1
.198	8.15	.031	3	0.79	.079	3	1.02	.017	3	0.76	.005	2
.232	8.11	.047	6	0.83	.096	6	1.06	.047	6	—	—	—
.239	—	—	—	—	—	—	—	—	—	0.79	.010	3
.263	8.11	.066	6	0.78	.105	7	1.08	.050	7	0.80	.044	7
.314	8.24	.073	5	0.89	.129	5	1.13	.076	5	0.78	.035	3
.344	8.34	.010	2	0.94	.065	2	1.16	.025	2	0.84	.005	2
.398	8.52	.020	2	0.98	.010	2	1.16	.000	2	—	—	—
.439	8.59	.026	3	0.93	.100	3	1.12	.077	4	0.91	—	1
.467	8.68	.091	3	0.86	.025	2	1.13	.010	2	—	—	—
.477	—	—	—	—	—	—	—	—	—	0.83	—	1
.515	8.54	.024	6	0.67	.047	5	1.02	.032	6	0.78	.014	4
.562	8.33	.099	5	0.53	.070	5	0.88	.046	5	0.70	.031	3
.603	8.24	.098	3	0.48	.090	4	0.85	.074	4	0.66	.046	3
.628	8.29	.034	5	0.45	.048	5	0.90	.016	5	0.70	.019	5
.665	8.38	.020	6	0.63	.051	5	1.04	.023	6	0.73	.035	5
.706	8.34	.045	2	0.78	.075	2	1.09	.040	2	0.78	.030	2
.734	8.30	.097	5	0.92	.053	5	1.18	.043	5	0.86	.069	4
.770	8.45	.032	3	1.37	.168	3	1.36	.038	3	0.88	—	1
.821	8.60	.037	4	1.44	.078	4	1.40	.037	4	0.91	.018	4
.919	9.15	.165	3	1.48	.119	3	1.46	.032	3	—	—	—
.957	—	—	—	—	—	—	—	—	—	0.99	.000	2
.962	9.24	.162	3	1.38	.168	3	1.45	.121	3	—	—	—
.988	9.35	.151	3	1.29	.136	3	1.41	.078	3	0.96	.025	3

Таблица 9

Сведения фаз кривых показателей цвета относительно кривой блеска АС Пог

Экстремум Фаза кривой блеска	MinI	MaxI	MinII	MaxII
U–B	0.10:	0.08	0.14	0.14
B–V	.05	.06	.13	.14
V–R	.03	.05	.14	.19::

Сдвиги фаз кривых показателей цвета относительно кривой блеска *V Vul*

Экстремум	Min I	Max I	Min II	Max II
Фаза кривой блеска	0.00	0.24	0.48	0.60
<i>U-V</i>	0.11	0.09	0.08	-0.01
<i>B-V</i>	.09	.09	.08	.00
<i>V-R</i>	.05	.10	.04:	.00

Авторы выражают благодарность Р.И.Чуприной за ряд оценок блеска АС *Her*, сделанных по одесским пластинкам.

## Литература

- Даусон, 1979 — Dawson D.M., ApJ Suppl 41, 97.  
 Дююи, 1973 — DuPuy D.L., ApJ 185, 597.  
 Ерлексова Г.Е., 1972, ПЗ 18, 303.  
 Камени, 1953 — Kameny F., AJ 58, 217.  
 Кристи, 1966 — Christy R., ApJ 145, 485.  
 Магалашвили Н.Л. и Кумсишвили Я.И., 1972, Абаст. бюлл. №43.  
 Накагири и Ямашита, 1979 — Nakagiri M. and Yamashita Ya., Tokyo  
 Bul. № 260.  
 Престон и др., 1963 — Preston G.M., Krzeminski W., Smak J.A., ApJ  
 137, 401.  
 Пэйн—Гапошкина и др., 1943 — Payne-Gaposchkin C., Brenton V.K.  
 and Gaposchkin S., Harvard Ann 113, 1.  
 Стоби, 1969 — Stobie R.S., MN 144, 485.  
 Сан福德, 1955 — Sanford R., ApJ 121, 318.  
 Шаховской Н.М., 1963, АЖ 40, 1057.  
 Эгген, 1961 — Eggen O.J., ROB № 29.

Институт астрофизики  
 АН Таджикской ССР,  
 Душанбе

Поступила в редакцию  
 15 декабря 1984 г.